

大阪市立大学 工学部 正員 倉田宇章  
 大阪工業大学 正員 関村宏一  
 大阪市立大学 工学部 ○正員 島田功

1. まえがき 床板ヒラーメンの合成される構造は、高架橋等において見受けられるところであるが、従来は殆んどの場合、フランジの有効幅を仮定してラーメン構造として解析されてきた。我々はかかる構造をより忠実に解析するため、2次元弹性理論、ならびに平板、および梁の曲げ理論を併用して、板ヒラーメンヒラーメン完全合成される形の立体解析法を研究した。従来、板ヒラーメンの合成構造に関する研究例は G. Allen, R.T. Severn, 関村等。解説があげられている。本文では、平面保持の仮定のもとに、Fourier級数を用いて、図-1. に示すような構造の解式を導き、更に簡略化された形で、対称構造で正対称荷重を受けた場合の応用例を示す。

## 2. 板の曲げおよび Scheibe 作用による変形からいに 断面力

板の面内に働く応力を示す応力関数の および曲げによる板の

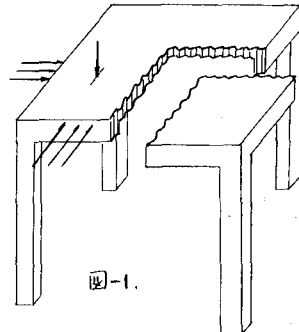


図-1.

$$\begin{aligned} \phi = & \sum \frac{1}{m} \frac{1}{\alpha_m} (A_m \sinh \alpha_m y + B_m \cosh \alpha_m y + C_m \alpha_m y \sinh \alpha_m y \\ & + D_m \alpha_m y \cosh \alpha_m y) \sin \alpha_m x \\ & + \sum \frac{1}{n} \frac{1}{\beta_n^2} (A'_n \sinh \beta_n x + B'_n \cosh \beta_n x + C'_n \beta_n x \sinh \beta_n x \\ & + D'_n \beta_n x \cosh \beta_n x) \sin \beta_n y \quad \cdots \cdots \cdots (1) \end{aligned}$$

$$\begin{aligned} w = & \frac{1}{D} \sum \left( A_m \sinh \alpha_m y + B_m \cosh \alpha_m y + C_m \alpha_m y \sinh \alpha_m y \right. \\ & \left. + D_m \alpha_m y \cosh \alpha_m y \right) \sin \alpha_m x \\ & + \frac{1}{D} \sum \left( A'_n \sinh \beta_n x + B'_n \cosh \beta_n x + C'_n \beta_n x \sinh \beta_n x + D'_n \beta_n x \cosh \beta_n x \right) \sin \beta_n y \\ & + \frac{1}{D} \sum \sum \frac{a_{mn}}{\left(\frac{m^2}{a^2} + \frac{n^2}{b^2}\right)^2} \sin \alpha_m x \sin \beta_n y \quad \cdots \cdots \cdots (2) \end{aligned}$$

ここで  $\alpha_m = \frac{m\pi}{a}$ ,  $\beta_n = \frac{n\pi}{b}$ ,  $a_{mn} = \frac{16T_0}{\pi^2 mn} \sin \alpha_m x_0 \sin \alpha_m y_0 \sin \beta_n x_0 \sin \beta_n y_0$  (荷重強度と荷重中心  $(x_0, y_0)$  で分布面積  $z_0 x_0 z_0 y_0$  の矩形等分布荷重から求めた場合の係数式)

板の Scheibe 力  $(\sigma_x, \sigma_y, T_{xy})$ , 垂  $(\varepsilon_x, \varepsilon_y)$ , 面内変形  $(u_x, v_y)$ ,

板の断面力  $(M_x, M_y, M_{xy})$ ,  $\pm w$  断力  $(Q_x, Q_y)$ , 换算せん

断力  $T_x, T_y$ ) は次の各式から求まる。

$$\sigma_x = \frac{\partial^2 \phi}{\partial x^2}, \quad \sigma_y = -\frac{\partial^2 \phi}{\partial y^2}, \quad T_{xy} = -\frac{\partial^2 \phi}{\partial x \partial y} \quad \cdots \cdots \cdots (3)$$

$$\varepsilon_x = \frac{1}{E} (\sigma_x - \nu \sigma_y), \quad \varepsilon_y = \frac{1}{E} (\sigma_y - \nu \sigma_x) \quad \cdots \cdots \cdots (4)$$

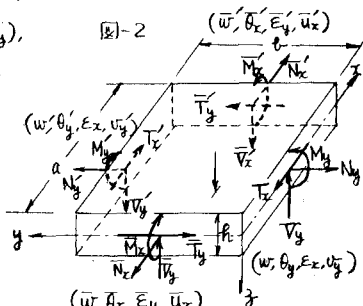
$$u_x = \int \varepsilon_x dx - c_y + u_0, \quad v_y = \int \varepsilon_y dy + c_y + v_0 \quad \cdots \cdots \cdots (5)$$

$$M_x = -D \left( \frac{\partial^2 u_x}{\partial x^2} + \nu \frac{\partial^2 v_y}{\partial x^2} \right), \quad M_y = -D \left( \frac{\partial^2 v_y}{\partial y^2} + \nu \frac{\partial^2 u_x}{\partial y^2} \right), \quad M_{xy} = -D(1-\nu) \frac{\partial^2 w}{\partial x \partial y} \quad \cdots \cdots \cdots (6)$$

<sup>1)</sup>G. Allen, R.T. Severn. : 'Composite action of beams and slab under transverse loading'

Structural Engineer: Part I, Part II 1961, Part III 1962, Part IV 1964.

関村: 偏心荷重に対する板ヒラーメンの完全合成構造の曲げ理論 第2回年次技術講演会 能43年



$$Q_x = -D \left( \frac{\partial^2 w}{\partial z^2} + \frac{\partial^2 w}{\partial z \partial y} \right), \quad Q_y = -D \left( \frac{\partial^2 w}{\partial y^2} + \frac{\partial^2 w}{\partial z \partial y} \right) \quad \dots \dots (7)$$

ここで、 $-C_y + u_0, Cx + v_0$ ：構造全体の変形適合により定まる剛体変形。E：弹性常数。

D：板の曲げ剛度 ( $\frac{Eh^3}{12(1-\nu^2)}$ )、h：板厚)

(2)～(8)式より、図-2を参照し、板の周辺に沿う拘束力とひずみ、変形の式中に含まれる Non-Circular Function を更に級数に展開し、梁との合成条件を容易に得られる基本式を次の様に表す。ここで、 $x$ 軸に平行な相対座標 ( $y=0, y=\ell$ ) の各式を記載する。他の2辺上についても同様である。

$$N_y = \sum_m N_m \sin \lambda_m x, \quad N'_y = \sum_m N'_m \sin \lambda'_m x \quad \dots \dots (9) \quad T_x = \sum_m T_m \cos \lambda_m x, \quad T'_x = \sum_m T'_m \cos \lambda'_m x \quad \dots \dots (10)$$

$$M_y = \sum_m M_m \sin \lambda_m x, \quad M'_y = \sum_m M'_m \sin \lambda'_m x \quad \dots \dots (11) \quad V_y = \sum_m V_m \sin \lambda_m x, \quad V'_y = \sum_m V'_m \sin \lambda'_m x \quad \dots \dots (12)$$

$$\varepsilon_x = \sum_m \varepsilon_m \sin \lambda_m x, \quad \varepsilon'_x = \sum_m \varepsilon'_m \sin \lambda'_m x \quad \dots \dots (13) \quad \theta_y = \sum_m \theta_m \sin \lambda_m x, \quad \theta'_y = \sum_m \theta'_m \sin \lambda'_m x \quad \dots \dots (14)$$

$$w = \sum_m W_m \sin \lambda_m x, \quad w' = \sum_m W'_m \sin \lambda'_m x \quad \dots \dots (15) \quad U_y = \sum_m U_m \sin \lambda_m x, \quad U'_y = \sum_m U'_m \sin \lambda'_m x \quad \dots \dots (16)$$

(9)～(16)の各式のフーリエ級数、 $N_m, N'_m, T_m, T'_m \dots$  等は、(1)に示した因材の論文に詳しく述べてある。

3. ラーメンの断面力及びひずみ、変形 図-3に示す梁の断面(30分の組合式)に対する式を以下に示す。

$$\frac{dN_{ox}}{dx} = T_x \quad \dots \dots (16) \quad \frac{dN_{oy}}{dx} = -V_y - P_{oy} \quad \dots \dots (17) \quad \frac{dM_{ox}}{dx} = -N_y - P_{oy} \quad \dots \dots (18)$$

$$\frac{dM_{oy}}{dx} = Q_{ox} + e_x T_x \quad \dots \dots (19) \quad \frac{dM_{ox}}{dx} = P_{oy} - \eta \times T_x \quad \dots \dots (20)$$

$$\frac{dM_{oy}}{dx} = M_y - \bar{e}_x N_y - \bar{\eta} \times V_y \quad \dots \dots (21) \quad \text{ここで } P_{oy}, P_{oy} : 梁に作用する$$

3. R\_y u\_y 方向の荷重。e, \eta : 板と梁の重心との位置及び水平偏心距離。  
E, \bar{e} : 梁の中央断面中心からの偏心距離。

梁の曲げ剛度

$$M_{ox} = -EI_o \frac{d^2 w_o}{dx^2} \quad \dots \dots (22) \quad m_{ox} = -E\lambda_o \frac{d^2 w_o}{dx^2} \quad \dots \dots (23)$$

$$M_{oy}^T = GJ_o \frac{d\theta_y}{dx} \quad \dots \dots (24) \quad \varepsilon_{ox} = -\frac{E}{EI_o} M_{ox} + \frac{\eta}{EA_o} m_{ox} - \frac{N_{ox}}{EA_o} \quad \dots \dots (25)$$

ここで  $EI_o, E\lambda_o$  : 梁の曲げ剛度  $GJ_o$  : 梁のねじり剛度。A\_o : 梁の断面積

$N_{ox}, M_{ox}, m_{ox}, M_{oy}^T$  は (16)～(20)式より

$$N_{ox} = \sum_m \frac{1}{\lambda_m} T_m \sin \lambda_m x + C_{01} \quad \dots \dots (26) \quad M_{ox} = \sum_m \frac{1}{\lambda_m} \left( \frac{1}{\lambda_m} V_m + e T_m \right) \sin \lambda_m x - \int P_{oy} dx dx + C_{02} x + C_{03} \quad \dots \dots (27)$$

$$M_{oy}^T = \sum_m \frac{1}{\lambda_m} \left( \frac{1}{\lambda_m} N_m - \eta \times T_m \right) \sin \lambda_m x - \int P_{oy} dx dx + C_{04} x + C_{05} \quad \dots \dots (28) \quad M_{oy}^T = \sum_m \frac{1}{\lambda_m} \left( M_m - \bar{e} N_m - \bar{\eta} V_m \right) \cos \lambda_m x - C_{06} \quad \dots \dots (29)$$

$C_{01}, C_{02} \dots C_{06}$  はラーメンの初期条件より定めらる。

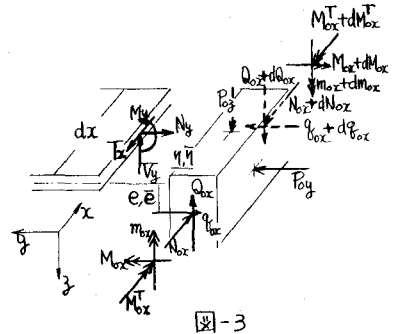


図-3

4. 板と梁の連続条件 式(22),(23),(24),(25),(26)から式(1)～(6)及び式(16)～(20)を用い、板と梁との接合部に対する変形と歪の連続条件4個を得る。

$$W_m = \frac{1}{EI_o \lambda_m^3} \left[ \frac{1}{\lambda_m} V_m + e T_m + \frac{1}{\alpha} \{ C_{01} + (-1)^{m+1} C_{01}' \} \right] + W_{om} \quad \dots \dots (30)$$

$$\tilde{V}_m = \frac{1}{E\lambda_o \lambda_m^3} \left[ \frac{1}{\lambda_m} N_m - \eta T_m + \frac{1}{\alpha} \{ C_{02} + (-1)^{m+1} C_{02}' \} \right] + V_{om} \quad \dots \dots (31)$$

$$\theta_m = \frac{1}{GJ_o \lambda_m^2} \left[ -M_m + \bar{e} N_m + \bar{\eta} V_m + \frac{1}{\alpha \lambda_m} C_{03} \{ (-1)^{m+1} + 1 \} \right] + \theta_{om} \quad \dots \dots (32)$$

$$\varepsilon_m = -\lambda_m^2 (e W_m - \eta V_m) - \frac{1}{EA_o \lambda_m} \left[ T_m + \frac{C_{04}}{\alpha} \{ (-1)^{m+1} + 1 \} \right] + \varepsilon_{om} \quad \dots \dots (33)$$

ここで  $W_{om}, V_{om}, \theta_{om}, \varepsilon_{om}$  はラーメンに作用する荷重によるラーメンの変形及び梁のフーリエ級数を示す。  
他に周辺に対する2つも同様にして、16個の連続条件式を導き、式中に含まれる16個の未定常数 ( $A_m, B_m, C_m, \dots D_m'$ ) が求められる。

5. 対応例 図-4に示すように相対寸法 ( $x=0, x=a$ ) 単純支承、2辺 ( $y=0, y=\ell$ ) ラーメンに対する構造物が正対称荷重を受けた場合の解析を行う。

5-1. 計算式 正方形板より、本のみ考慮すれば、直角部 ( $x=0$ ) において、 $t_1+t_2=0$ , Scheibe 領域  $= 0$  と見做せば、一般式<sup>2)</sup>。

$A'_m = B'_m = C'_m = D'_m = \bar{A}'_m = \bar{B}'_m = \bar{C}'_m = \bar{D}'_m = 0$  ただし、 $\bar{G}_y|_{x=0} = 0$ 。上記 2. 1. の力剛節点として、式<sup>3)</sup>を用いて代数関数を導入し、

$$\phi = \sum_m \frac{1}{\alpha_m} (A_m \sinh \lambda_m y + B_m \cosh \lambda_m y + C_m \sinh \lambda_m y + D_m \cosh \lambda_m y) \sinh \lambda_m x \\ + \frac{a_2}{2} (x - \frac{a}{2})^2 + \frac{c_2}{2} (y - \frac{a}{2})^2 + \frac{a_2}{2} (x - \frac{a}{2})^4 + \frac{c_2}{2} (x - \frac{a}{2})^2 (y - \frac{a}{2})^2 \quad \dots \dots (34)$$

$$t_1 t_2 \text{ し } a_2 = -2 C_4, \quad a_2 = (\frac{a^2}{2} - \frac{a^2}{4}) C_4, \quad C_2 = -\frac{a^2}{4} C_4 : \phi|_{x=0} = 0$$

$$\bar{G}_y|_{x=0} = 0, \quad \text{代りに近似式 } \int_0^a \bar{G}_y|_{x=0} dy = 0 \text{ 既に},$$

$$\sum_m \frac{1}{\alpha_m} [(A_m + \frac{a}{2} \lambda_m C_m) \sinh \lambda_m a - B_m] = C_4 \times \frac{a b^2}{8} \quad \dots \dots (35) \text{ とする}.$$

7-X 2 A 境界条件:  $u_0|_{x=y=0} = \text{板の剛体変形} = 0$  たり、 $C_{03} = -\frac{2}{3} C_0 \bar{f}_0$  ( $\bar{f}_0$ : 7-X 2 の接長)

$$(\frac{\partial u}{\partial x} + \frac{\partial u}{\partial y})|_{x=y=0} = 0 \text{ すなはち}, \quad \frac{1}{EI_3} (\frac{1}{2} G_0 \bar{f}_0 + C_{03}) \bar{f}_0 = -\sum_m w_m N_m.$$

正方形条件:  $C_{02} = C_{04} = C_{06} = 0, \quad B_m = T_m A_m - \lambda_m C_m, \quad D_m = -\Delta_m C_m, \quad \bar{B}_m = -\bar{T}_m \bar{A}_m - \lambda_m \bar{C}_m, \quad \bar{D}_m = -\Delta_m \bar{C}_m$   
 $= ?$   $T_m = \coth \frac{\lambda_m \pi c}{2}, \quad \lambda_m = \lambda_m \pi \coth \lambda_m \pi c, \quad \Delta_m = \tanh \frac{\lambda_m \pi c}{2}$  ただし  $\lambda = \frac{a}{c}, \quad m = 1, 3, 5, \dots$

以上より、未知の積分常数は、 $A_m, C_m, \bar{A}_m, \bar{C}_m, C_4$  の 5 個である。<sup>(35)</sup> 式と板上半の連続条件式<sup>(30)~(33)</sup>式より定められ<sup>3)</sup>。以下<sup>(30)~(33)</sup>の各式のうちで如く簡単化する場合についても考慮する。

$$1) \quad w_m = \frac{1}{EI_3 \Delta_m^3} [\frac{1}{\alpha_m} T_m + e T_m + \frac{4}{a} C_{03}]$$

2)  $N_m = 0$  : 板と半の接合部において直角方向の面内拘束を無視したものが<sup>2)</sup>ある。

$$3) \quad b_m = -\frac{1}{G_0 \sqrt{\alpha_m}} M_m$$

$$4) \quad \varepsilon_m = -e \sqrt{\alpha_m} w_m - \frac{1}{EAD_m} (T_m + \frac{4}{a} C_{03})$$

(9)~(16) 及び 7-4 の条件を満たすように

$$N_m = -\bar{f}_0 (\bar{B}_m - \frac{16}{a \alpha_m} C_4) \quad \dots \dots (9') \quad T_m = -\bar{f}_0 (A_m + D_m + \frac{4b}{a} \times \frac{1}{\alpha_m} C_4) \quad \dots \dots (16)$$

$$M_m = -\bar{u}_m^2 \{(1-v) \bar{B}_m + 2 \bar{C}_m\} \quad \dots \dots (11') \quad \bar{V}_m = -\bar{u}_m^3 \{- (1-v) \bar{A}_m + (1-v) \bar{D}_m\} + \frac{1}{12} \sum_n \frac{a_{mn}}{(\frac{m^2}{a^2} + \frac{n^2}{c^2})^2} \{P_n^2 + (2-v) Q_n^2\} P_n \quad \dots \dots (12)$$

$$\varepsilon_m = \frac{1}{E} \{(1+v) B_m + 2 C_m - \frac{8}{a \alpha_m} (1+2v) C_4\} \quad \dots \dots (13) \quad b_m = \frac{1}{D} [a_m (\bar{A}_m + \bar{D}_m) + \frac{1}{12} \sum_n \frac{a_{mn}}{(\frac{m^2}{a^2} + \frac{n^2}{c^2})^2} P_n] \quad \dots \dots (14')$$

$$w_m = \frac{1}{D} \bar{B}_m \quad \dots \dots (15)$$

## 5-2. 計算結果

以上各式を用い、正方形板 ( $a=c$ ) において、図-5 に示す矩形及び張出部を持つ、2 種類の半をすし等分布荷重及び中央線荷重が載荷する場合の計算結果を示す。形状は表-1 に示す。

表-1

	$\frac{a}{c}$	$H_A$	$H_B$	$B_G$	$\bar{B}_G$	$\bar{P}_G$	柱断面2(柱外)
Case 1.	1	3	0	0.1	0	30	$\frac{I_y}{I_{xx}} = 1.5$
Case 2.	1	3	0.5	0.1	0.5	30	Case 1 柱断面

木アソシ比  $v = 0.3$

上述した完全合成と非合成構造の場合について、モーメントの若干の値を表-2 に示し、比較する。ここで非合成とし、板上半の用いて換算した衝撃力の増減率を構造ごとに示す。

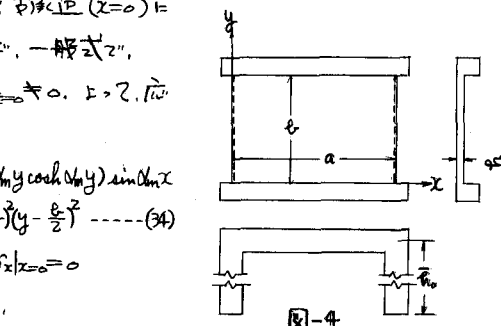
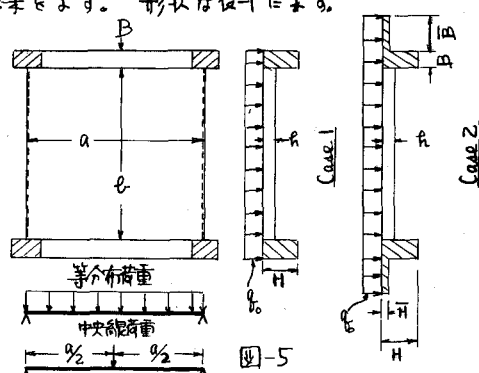


図-4



Case 1

Case 2

a) 柱の断面力

Case 1. の場合

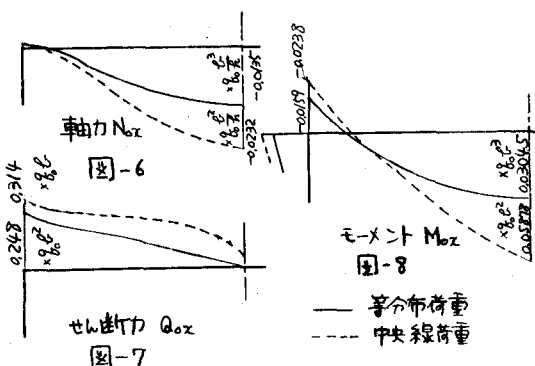


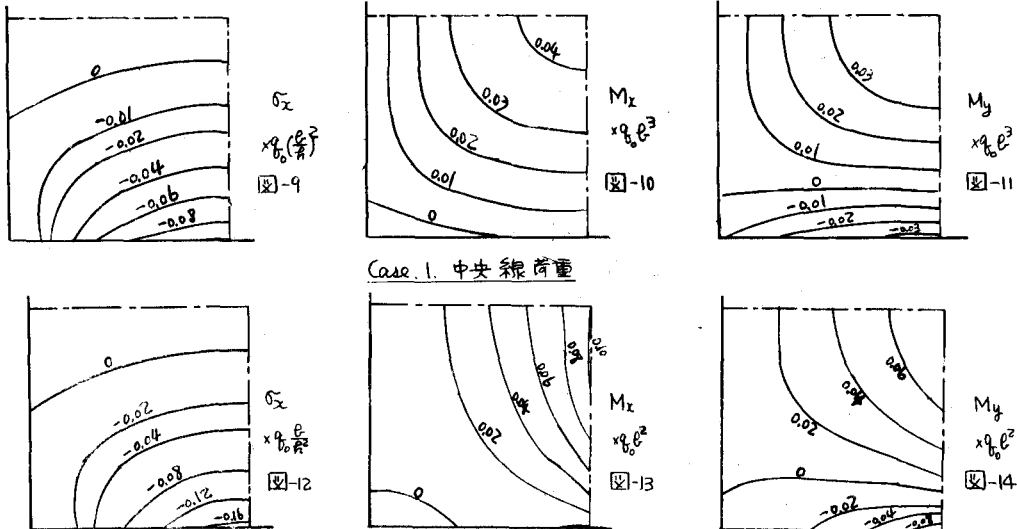
表-2

$$a = b, \nu = 0.3$$

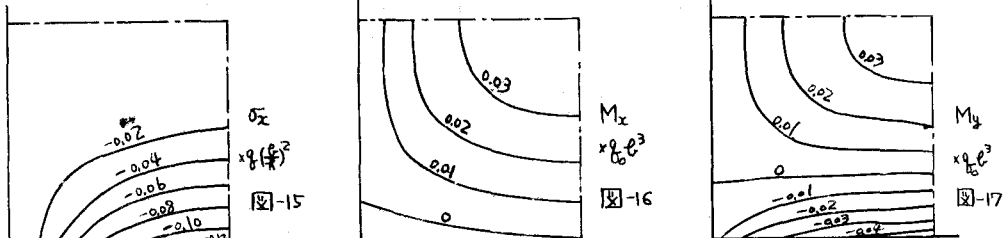
	$x = 0.5a$	$x = 0.3a$	$x = a$
等分布荷重	Case 1. 0.03045	0.02394	-0.01593
合計非合成	0.03651	0.02726	-0.01817
$\times q_0 l^3$	Case 2. 0.05878	0.03448	-0.02381
合計非合成	0.06835	0.04025	-0.02781
中央線荷重	Case 1. 0.05125	0.04045	-0.01862
合計非合成	0.05850	0.04525	-0.02086
$\times q_0 l^3$	Case 2. 0.1044	0.05795	-0.02851
合計非合成	0.1138	0.06587	-0.03173

c) 板の応力 ( $\sigma_x, M_x, M_y$ )

Case 1. 等分布荷重



Case 2. 等分布荷重



6. 結論 図6～17よりラーメンと板の完全合成構造の特性が曲げと Scheibe action の連成系として把握される。表-2に示す様に板ヒテークンの完全合成の場合と非合成接触の各場合のラーメン中央部の曲げモーメントの間に本計算例では約20%位の差異がある。最近著しく高速化した電子計算機の利用により本文のような立体解析もさほど、かたしむからかといふと附記する。